

เอกสารอ้างอิง

- Aguzzi C, Cerezo P, Viseras C, Caramella C. Use of clays as drug delivery systems: Possibilities and limitations. **Appl Clay Sci** 2007; 36: 22–36.
- Bhaskar R, Murthy RSR, Miglani BD, Viswanathan K. Novel method to evaluate diffusion controlled release of drug from resinate. **Int J Pharm** 1986; 28: 59–66.
- Bekçi Z, Seki Y, Yurdahoç MK. A study of equilibrium and FRIR, SEM/EDS analysis of trimethoprim adsorption onto K10. **J Mol Struct** 2006; 827: 67–74.
- Benna M, Kbiri-Ariguib N, Magnin A, Bergaya F. Effect of pH on rheological properties of purified sodium bentonite suspensions. **J Colloid Interface Sci** 1999; 218: 442–455
- Borgquist P, Korner A, Piculell L, Larsson A, Axelsson A. A model for the drug release from a polymer matrix tablet—effects of swelling and dissolution. **J Control Release** 2006; 113(3): 216–225.
- Campos-Aldrete ME, Villafuerte-Robles L. Influence of the viscosity grade and the particle size of HPMC on metronidazole release from matrix tablets. **Eur J Pharm Biopharm** 1997; 43: 173–178.
- Ciullo PA. Rheological properties of magnesium aluminum silicate/xanthan gum dispersions. **J Soc Cosmet Chem** 1981; 32: 275–285.
- Ciullo PA, Braun DB. Clay/carbomer mixtures enhance emulsion stability. **Cosmet Toilet** 1991; 106: 89–95.
- Colombo P, Bettini R, Santi P and Peppas, NA. Swellable matrices for controlled drug delivery : gel layer behavior, mechanism and performance. **Pharm Sci Tech Today** 2000; 3(6): 198–204.
- Costa P, Lobo JMS. Modeling and comparison of dissolution profiles. **Eur J Pharm Sci** 2001; 13:123–133.
- Dahl TC, Calderwood T, Bormeth K, Trimble K. Influence of physico-chemical properties of hydroxypropylmethylcellulose in naproxen release from sustained release matrix tablets. **J Control Release** 1990; 14: 1–10.
- Ding X, Alani AWG, Robinson JR. Extended-release and targeted drug delivery systems. in: Troy, DB. editor. **Remington: The Science and practice of pharmacy**, 21st ed. Lippincott Williams & Wilkins; 2002. p. 934–964.
- Féjer I, Kata M, Eros I, Dékány I. Interaction of monovalent cationic drugs with montmorillonite. **Colloid Polym Sci** 2002; 280: 372–379.
- Ford JL, Rubinstein MH, Hogan JE. Propranolol hydrochloride and aminophylline release from matrix tablets containing hydroxypropylmethylcellulose. **Int J Pharm** 1985; 24: 339–350.
- Gao P, Meury RH. Swelling of hydroxypropyl methylcellulose matrix tablets. 1. Characterization of swelling using a novel optical imaging method. **J Pharm Sci** 1996; 85(7): 725–731.

- Gates WP, Komadel P, Madejová J, Bujdák J, Stucki JW, Kirkpatrick RJ. Electronic and structural properties of reduced-charge montmorillonite. *Appl Clay Sci* 2000; 16: 257-271.
- Gereli G, Seki Y, Kuşoğlu MI, Yurdahoç MK. Equilibrium and kinetics for the sorption of promethazine hydrochloride onto K10 montmorillonite. *J Colloid Interface Sci* 2006; 299: 155-162.
- Grim RE. *Clay Mineralogy*. New York: McGraw-Hill Book Company Inc; 1962. p.190-249.
- Harris MR, McGinity JW. Optimization of slow-release tablet formulations containing montmorillonite III. Mechanism of release. *Drug Dev Ind Pharm* 1982; 8(6): 795-809.
- Harris MR, Schwartz JB, McGinity JW. Optimization of a slow-release tablet formulation containing sodium sulfathiazole and a montmorillonite clay. *Drug Dev Ind Pharm* 1985; 11(5): 1089-1100.
- Higuchi T. Mechanism of sustained-action medication. Theoretical analysis of rate of release of solid drugs dispersed in solid matrices. *J Pharm Sci* 1963; 52: 1145-1149.
- Hoch M, Bandara A. Determination of the adsorption process of tributyltin (TBT) and monobutyltin (MBT) onto kaolinite surface using Fourier transform infrared (FTIR) spectroscopy. *Colloid Surf A physicochem Eng Asp* 2005; 253: 117-124.
- Huang YB, Tsai YH, Yang WC. Optimization of sustained-release propranolol dosage form using factorial design and response surface methodology. *Biol Pharm Bull* 2004a; 27(10): 1626-1629.
- Huang YB, Tsai YH, Yang WC. Once-daily propranolol extended-release tablet dosage form: formulation design and in vitro/in vivo investigation. *Eur J Pharm Biopharm* 2004b; 58: 607-614.
- Ismail Mohamed MAE., Acid-base equilibria of diazepam and prazepam in montmorillonite suspensions. *Talanta* 1998; 46: 951-959.
- Kim H, Fassihi R, Application of a binary polymer system in drug release rate modulation 2. Influence of formulation variables and hydrodynamic conditions on release kinetics. *J Pharm Sci* 1997; 86: 323-328.
- Korsmeyer RW, Gurny R, Doelker E, Buri P and Peppas NA. Mechanisms of solute release from porous hydrophilic polymers. *Int J Pharm* 1983; 15: 25-35.
- Levina M. Influence of fillers, compression force, film coating & storage conditions on performance of hypromellose matrices. *Drug Deliv Technol* 2004; 4(1): 1-6.
- Levina M, Taylor J, Rajabi-Siahboomi AR. **The Influence of starch 1500 on drug release from HPMC matrices.** Paper presented at AAPS National Meeting; 2001 Oct 24; Colorado, USA.
- Liu C, Kao Y, Chen S, Sokoloski TD, Sheu MT. In-vitro and in-vivo studies of the diclofenac sodium controlled-release matrix tablets. *J Pharm Pharmacol* 1995; 47: 360-364.
- Lombardi BM, Torres Sanchez RM, Eloy P. Interaction of thiabendazole with montmorillonite. *Appl Clay Sci* 2006; 33: 59-65.
- Martin, A., **Physical Pharmacy**, 4th editon. Philadelphia: Lea&Febiger; 1993.

- Mitchell K, Ford JL, Armstrong DJ, Elliot PNC, Hogan JE, Rostron C. The influence of the particle size of hydroxypropylmethylcellulose K15M on its hydration and performance in matrix tablets. *Int J Pharm* 1993; 100: 175–179.
- Ni Z, Xing F, Wang P, Cao G. Synthesis, characterization and release of curcumin–intercalated Mg–Al-layered double hydroxides. *Appl Clay Sci* 2008; 40: 72–80
- Notari RE. **Biopharmaceutics and clinical pharmacokinetics**. New York: Marcel Dekker; 1987.
- Papin-Castéla N, Prognon P, Keller F, Bénazeth S, Farinotti R, Mahuzier G, Souleau, Ch. Cerium-doped diosmectite for topical application studies of the cerium–clay interaction. *Int J Pharm* 1999; 181(2) 30: 193–202.
- Park JK, Choy YB, Oh JM, Kim JY, Hwang SJ, Choy JH. Controlled release of donepezil intercalated in smectite clays. *Int J Pharm* 2008; 359: 198–204.
- Perez-Macros M, Ford JL, Armstrong DJ. Influence of pH on the release of propranolol hydrochloride from matrices containing hydroxypropylmethylcellulose K4M and carbopol 974. *J Pharm Sci* 1996; 85(3): 330–334.
- Pillay V, Fassihi R. Electrolyte-induced compositional heterogeneity: a novel approach for rate-controlled oral drug delivery. *J Pharm Sci* 1999; 88(11): 1140–1148.
- Pongjanyakul T, Priyam A, Puttipipatkhachorn S. Influence of magnesium aluminium silicate on rheological, release and permeation characteristics of diclofenac sodium aqueous gels in-vitro. *J Pharm Pharmacol* 2005a; 57: 429–434.
- Pongjanyakul T, Priyam A, Puttipipatkhachorn S. Investigation of novel alginate–magnesium aluminium silicate microcomposite films for modified-release tablets. *J Control Release* 2005b; 107: 343–356.
- Pongjanyakul T, Prakongpan S, Rungsardthong U, Chancham P, Priyam A. Characteristics and in vitro release of dextromethorphan resonates. *Powder Technol* 2005c; 152: 100–106.
- Pongjanyakul T, Khunawattanakul W, Puttipipatkhachorn S. Physicochemical characterizations and release studies of nicotine–magnesium aluminum silicate complexes. *Appl Clay Sci* 2009; 44: 242–250.
- Ravi PR, Gangga S, Saha RN. Design and in vitro evaluation of zidovudine oral controlled release tablets prepared using hydroxypropylmethylcellulose. *Chem Pharm Bull* 2008; 56(4): 518–524.
- Reynold, JEF. Editor. **Martindale: The Extra Pharmacopoeia**, 29th ed. London: The Pharmaceutical Press; 1989.
- Reynold TD, Gehrke SH, Hussain AS, Shenouda LS. Polymer erosion and drug release characterization of hydroxypropylmethylcellulose matrices. *J Pharm Sci* 1998; 87: 1115–1123.
- Rinaki E, Valsami G, Macheras P. The power law can describe the entire drug release curve from HPMC-based matrix tablets: a hypothesis. *Int J Pharm* 2003; 255: 199–207.
- Sai Cheong LW, Sia Heng PW, Wong LF. Relationship between polymer viscosity and drug release from a matrix system. *Pharm Res* 1992; 9(11): 1510–1514.

- Sánchez-Camazano M, Sánchez Martín JM, Vicente Hernández TM, Dominguez-Gil A. Adsorption-desorption of sotalol hydrochloride by Na-montmorillonite. **Clay Miner** 1987; 22: 121–128.
- Sánchez-Martín JM, Sánchez Camazano M, Vicente Hernández TM, Dominguez-Gil A. Interaction of propranolol hydrochloride with montmorillonite. **J Pharm Pharmacol** 1981; 33: 408–410.
- Serlin MJ, Orme ML, Maciver M, Green GJ, Sibeon RG. The pharmacodynamics and pharmacokinetics of conventional and long-acting propranolol in patients with moderate hypertension. **Br J Clin Pharmacol** 1983; 15: 519–527.
- Sinko JP. **Martin's Physical Pharmacy and Pharmaceutical Science**: Diffusion. 5th ed. Philadelphia: Lippincott Williams & Wilkins; 2006.
- Siepmann J, Kranz H, Bodmeier R, Peppas NA. HPMC-Matrices for controlled drug delivery: A new model combining diffusion, swelling and dissolution mechanisms and predicting the release kinetics. **Pharm Res** 1999; 16(11): 1748–1756.
- Siepmann J, Peppas NA. Modeling of drug release from delivery systems based on hydroxypropyl methylcellulose (HPMC). **Adv Drug Deliv Rev** 2001; 48: 139–157.
- Suksri H, Pongjanyakul T. Interaction of nicotine with magnesium aluminum silicate at different pHs: Characterization of flocculate size, zeta potential and nicotine adsorption behavior. **Colloids Surf B** 2008; 65: 54–60.
- Takka S, Rajbhandari S, Sakr A. Effect of anionic polymer on the release of propranolol hydrochloride from matrix tablets. **Eur J Pharm Biopharm** 2001; 52: 75–82.
- Tahara K, Yamamoto K, Nishihata T. Overall mechanism behind matrix sustained release (SR) tablets prepared with hydroxypropyl methyl cellulose 2910. **J Control Release** 1995; 35: 59–66.
- USP 30 NF 25 Asian edition the official compendia of standards. **Propranolol Hydrochloride**. Toronto: Webcom limited; 2007 p. 3057.
- Velasco MV, Ford JL, Rowe P, Rajabi-Siahboomi AR. Influence of drug: Hydroxypropylmethyl cellulose ratio, drug and polymer particle size and compression force on the release of diclofenac sodium from HPMC tablets. **J Control Release** 1999; 57: 75–85.
- Velde B. **Introduction to clay minerals**. London: Chapman & Hall; 1992.
- Zheng JP, Luan HY, Wang LF. Study on ibuprofen/montmorillonite intercalation composites as drug release system. **Appl Clay Sci** 2007; 36: 297–301.

ภาคผนวก

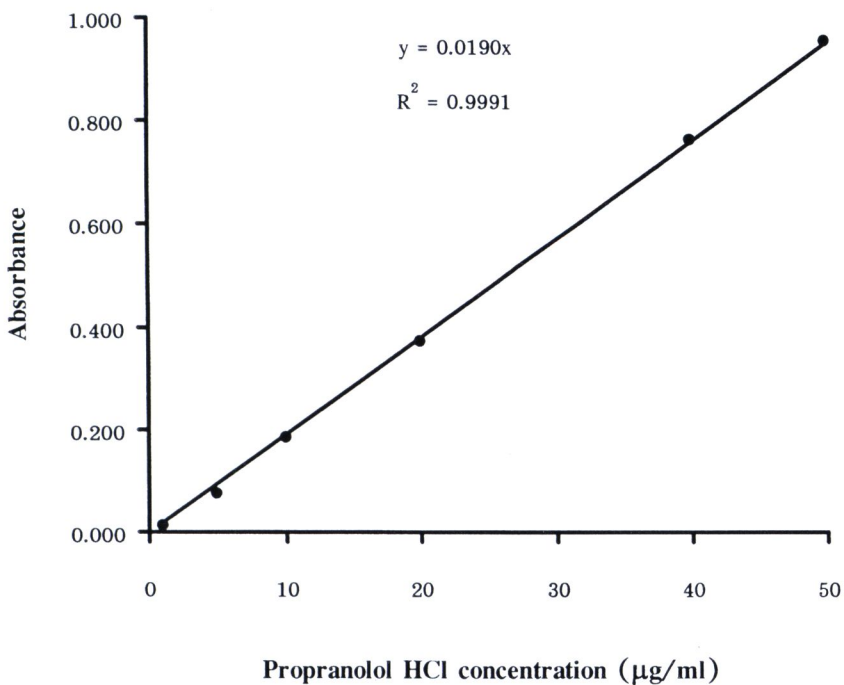
กราฟสารละลายน้ำของโพรพารอนอลอลไฮโดรคลอไรด์ในน้ำกลั่น

มีขั้นตอนการเตรียมดังนี้

1. ชั่งโพรพารอนอลอลไฮโดรคลอไรด์ 100 มิลลิกรัม ใน volumetric flask ขนาด 100 มิลลิลิตร ปรับปริมาตรด้วยน้ำกลั่น เขย่าจนละลายหมด จะได้ stock solution ที่มีความเข้มข้นของโพรพารอนอลอลไฮโดรคลอไรด์ 1000 ไมโครกรัมต่อมิลลิลิตร
2. ใช้ autopipett ดูดสารละลายน้ำจาก stock solution ในปริมาตร 25, 125, 250, 500, 1000 และ 1250 ไมโครลิตร ใส่ volumetric flask ขนาด 25 มิลลิลิตร
3. ปรับปริมาตรทุก flask ด้วยน้ำกลั่นให้ครบ 25 มิลลิลิตร เขย่าให้เข้ากัน จะได้สารละลายน้ำโพรพารอนอลอลไฮโดรคลอไรด์ความเข้มข้น 1, 5, 10, 20, 40 และ 50 ไมโครกรัมต่อมิลลิลิตร ตามลำดับ
4. นำไปวัดค่าการดูดกลืนแสงทั้งยูวีวิสเปกโกรไฟโตมิเตอร์ ที่ความยาวคลื่น 290 นาโนเมตร วัดความเข้มข้นละ 3 ครั้ง นำมาหาค่าเฉลี่ยและสร้างกราฟมาตราฐาน

ตารางที่ 16 ค่าการดูดกลืนแสงของโพรพารอนอลอลไฮโดรคลอไรด์ในน้ำกลั่น ที่ความยาวคลื่น 290 นาโนเมตร

ความเข้มข้นโพรพารอนอลอลไฮโดรคลอไรด์ ($\mu\text{g}/\text{ml}$)	ค่าการดูดกลืนแสง
1	0.010 ± 0.001
5	0.073 ± 0.001
10	0.182 ± 0.002
20	0.373 ± 0.002
40	0.762 ± 0.001
50	0.955 ± 0.001



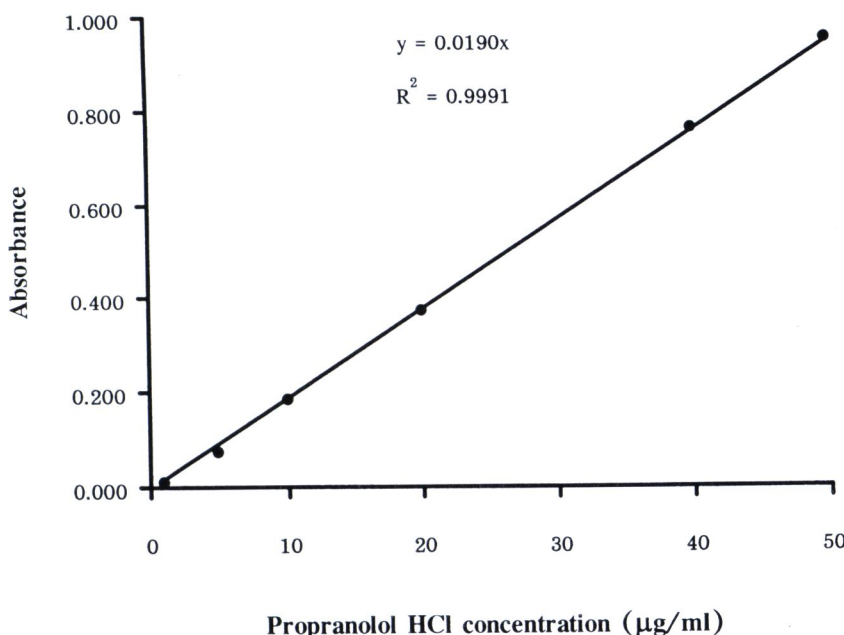
ภาพที่ 30 กราฟสารละลายน้ำตราชูนโปรพราโนลไฮโดรคลอโรตในน้ำกลั่น

**กราฟสารละลายน้ำของพรพรานอลอลไฮโดรคลอไรด์
ในกรดไฮโดรคลอริก ความเข้มข้น 2 นอร์มัล**

มีขั้นตอนการเตรียมเช่นเดียวกับสารละลายน้ำของพรพรานอลอลไฮโดรคลอไรด์ในน้ำกลิ่น แต่ใช้กรดไฮโดรคลอริก ความเข้มข้น 2 นอร์มัล เป็นตัวทำละลายแทนน้ำกลิ่น

ตารางที่ 17 ค่าการดูดกลืนแสงของพรพรานอลอลไฮโดรคลอไรด์ในกรดไฮโดรคลอริก ความเข้มข้น 2 นอร์มัล ที่ความยาวคลื่น 290 นาโนเมตร

ความเข้มข้นพรพรานอลอลไฮโดรคลอไรด์ ($\mu\text{g}/\text{ml}$)	ค่าการดูดกลืนแสง
1	0.018 ± 0.001
5	0.103 ± 0.001
10	0.198 ± 0.002
20	0.376 ± 0.003
40	0.751 ± 0.001
50	0.962 ± 0.002



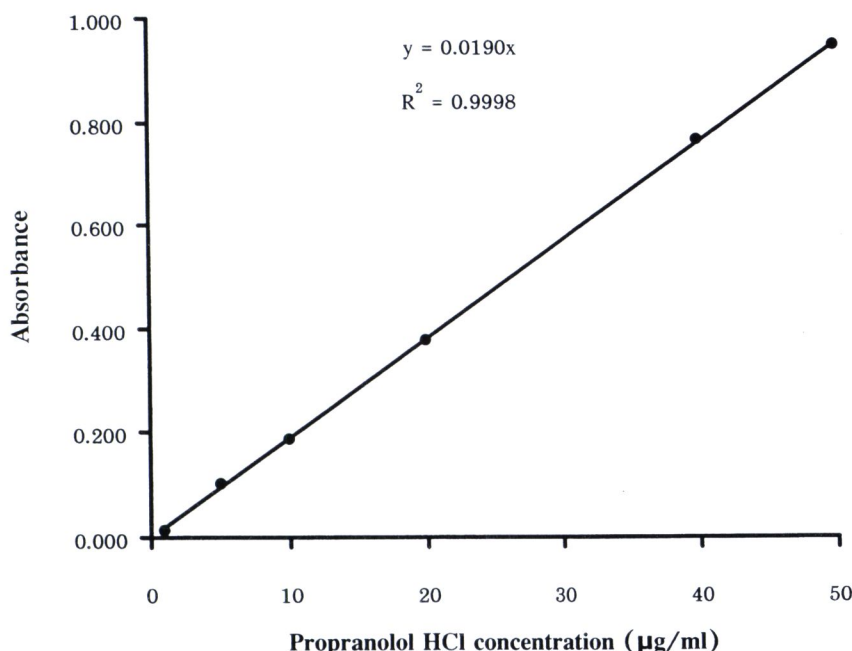
**ภาพที่ 31 กราฟสารละลายน้ำของพรพรานอลอลไฮโดรคลอไรด์ในกรดไฮโดรคลอริก
ความเข้มข้น 2 นอร์มัล**

**กราฟสารละลายน้ำรูนของพรพราโนโลอลไฮโดรคลอไรด์
ในกรดไฮโดรคลอริก ความเข้มข้น 0.1 นอร์มัล**

เมื่อนำต่อนการเตรียมเข็นเดียวกับสารละลายน้ำรูนพรพราโนโลอลไฮโดรคลอไรด์ในน้ำกลืน แต่ใช้กรดไฮโดรคลอริก ความเข้มข้น 0.1 นอร์มัล เป็นตัวทำละลายแทนน้ำกลืน

ตารางที่ 18 ค่าการดูดกลืนแสงของพรพราโนโลอลไฮโดรคลอไรด์ในกรดไฮโดรคลอริก ความเข้มข้น 0.1 นอร์มัล ที่ความยาวคลื่น 290 นาโนเมตร

ความเข้มข้นพรพราโนโลอลไฮโดรคลอไรด์ ($\mu\text{g/ml}$)	ค่าการดูดกลืนแสง
1	0.010 ± 0.001
5	0.102 ± 0.001
10	0.186 ± 0.002
20	0.377 ± 0.002
40	0.762 ± 0.001
50	0.947 ± 0.001



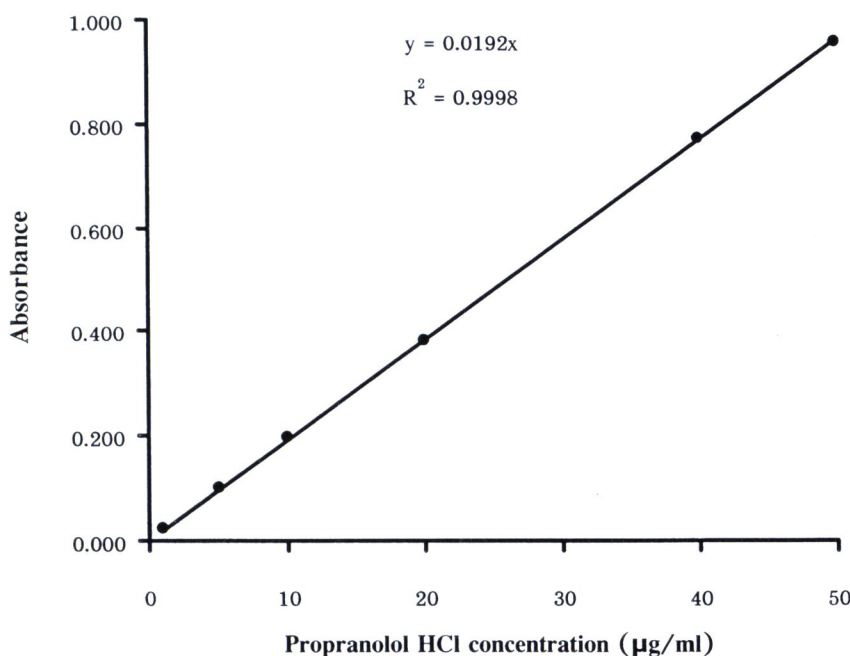
ภาพที่ 32 กราฟสารละลายน้ำรูนพรพราโนโลอลไฮโดรคลอไรด์ในกรดไฮโดรคลอริก ความเข้มข้น 0.1 นอร์มัล

**กราฟสารละลายน้ำของพรพ拉โนอลไฮโดรคลอไรด์
ในสารละลายนีติฟเฟอร์ พีเอช 6.8**

มีขั้นตอนการเตรียมเช่นเดียวกับสารละลายน้ำของพรพ拉โนอลไฮโดรคลอไรด์ในน้ำกลืน แต่ใช้สารละลายนีติฟเฟอร์ พีเอช 6.8 เป็นตัวทำละลายแทนน้ำกลืน

ตารางที่ 19 ค่าการดูดกลืนแสงของพรพ拉โนอลไฮโดรคลอไรด์ในสารละลายนีติฟเฟอร์ พีเอช 6.8 ที่ความยาวคลื่น 290 นาโนเมตร

ความเข้มข้นพรพ拉โนอลไฮโดรคลอไรด์ ($\mu\text{g}/\text{ml}$)	ค่าการดูดกลืนแสง
1	0.024 ± 0.002
5	0.101 ± 0.001
10	0.197 ± 0.001
20	0.381 ± 0.001
40	0.774 ± 0.001
50	0.956 ± 0.001



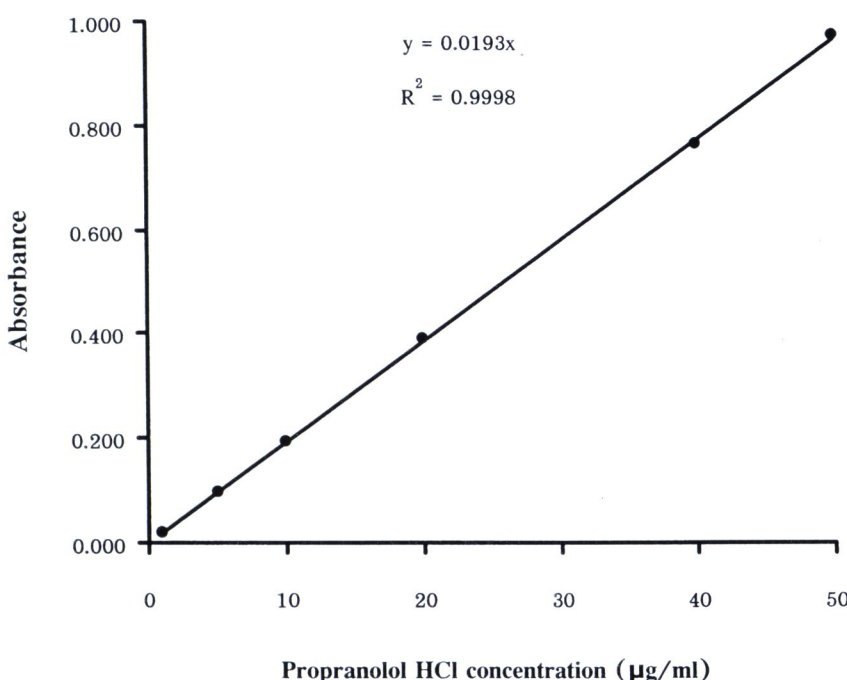
ภาพที่ 33 กราฟสารละลายน้ำของพรพ拉โนอลไฮโดรคลอไรด์ในสารละลายนีติฟเฟอร์ พีเอช 6.8

**กราฟสารละลายน้ำของพรพ拉โนอลไฮโดรคลอไรด์
ในสารละลายนิสบัฟเฟอร์ พีเอช 6.8**

มีขั้นตอนการเตรียมเช่นเดียวกับสารละลายน้ำของพรพ拉โนอลไฮโดรคลอไรด์ในน้ำกลั่น แต่ใช้สารละลายนิสบัฟเฟอร์ พีเอช 6.8 เป็นตัวทำละลายแทนน้ำกลั่น

**ตารางที่ 20 ค่าการดูดกลืนแสงของพรพ拉โนอลไฮโดรคลอไรด์ในสารละลายนิสบัฟเฟอร์ พีเอช 6.8
ที่ความยาวคลื่น 290 นาโนเมตร**

ความเข้มข้นพรพ拉โนอลไฮโดรคลอไรด์ ($\mu\text{g/ml}$)	ค่าการดูดกลืนแสง
1	0.021 ± 0.002
5	0.098 ± 0.002
10	0.194 ± 0.001
20	0.389 ± 0.003
40	0.763 ± 0.001
50	0.974 ± 0.001



ภาพที่ 34 กราฟสารละลายน้ำของพรพ拉โนอลไฮโดรคลอไรด์ในสารละลายนิสบัฟเฟอร์ พีเอช 6.8

การเผยแพร่ผลงานวิทยานิพนธ์

Rojtanatanya S, Pongjanyakul T. Propranolol-magnesium aluminum silicate complex dispersions and particles: Characterization and factors influencing drug release. **Int J Pharm** 2010; 383: 106–115.

ประวัติผู้เขียน



นายสารสิทธิ์ ใจดี
วัน เดือน ปีเกิด 7 ตุลาคม 2514

การศึกษา

สำเร็จการศึกษาระดับปริญญาตรี เภสัชศาสตรบัณฑิต คณะเภสัชศาสตร์ มหาวิทยาลัยขอนแก่น
ปี พ.ศ.2544

สถานที่ทำงาน

วิทยาลัยการสาธารณสุขลิรินทร์จังหวัดขอนแก่น

